

1—4 毫克量铀的电位滴定法

魏启慧 高晶荣

将 Davies 和 Gray 制定的在 H_3PO_4 介质中，用 $K_2Cr_2O_7$ 滴定 U(IV) 的方法，由指示剂判断终点改为电位法判断终点能获得较准确的结果。不需要外加 $VOSO_4$ ，终点是足够明显的。关键是用 $K_2Cr_2O_7$ 滴定时需保持适当的温度，选择 25—30°C 是合适的。制定了 1—4 毫克铀称重滴定程序，滴定 4 毫克标准铀溶液，准确度及精密度均 <0.1%，分析 1—4 毫克热铀溶液则 ≤ 0.2%。

关键词 电位滴定，U.

一、前 言

容量法测定铀的各种方法中，以 Davies 和 Gray^[1]制定的程序比较简便。此方法是在含有 HNO_3 、氨磺酸、 H_2SO_4 以及 H_3PO_4 的介质中用 Fe(II) 还原铀为(IV)价，过量 Fe(II) 用 HNO_3 氧化(钼酸铵作催化剂)，以二苯胺磺酸钠作指示剂，用 $K_2Cr_2O_7$ 滴定 U(IV)。通常存在的一定量的硝酸、Fe、Al、Cr、Ni、Pu 等也不干扰测定，可不经化学分离直接滴定核燃料料液中的铀。陈静仪^[2]采用小体积滴定 0.25—1 毫克量铀，结果满意。Pietri 等^[3]按周期表排列报道了各种元素干扰状况及排除方法。近年来测铀，应用的大都是外加 $VOSO_4$ 的电位滴定法；由于 $K_2Cr_2O_7$ 氧化 U(IV) 的反应速度慢，终点不够明显，在用 $K_2Cr_2O_7$ 滴定前加入 VO^{2+} ，经过与 U(IV) 反应生成 V^{3+} 的中间过程，再用 $K_2Cr_2O_7$ 进行电位滴定时，终点就明显^[4,5]。

我们的实验结果表明，可直接用 $K_2Cr_2O_7$ 对 U(IV) 进行电位滴定，不需外加 VO^{2+} 。关键是 $K_2Cr_2O_7$ 氧化 U(IV) 需维持适当的温度，选择 25—30°C 较合适，终点足够明显，电位值约有 35 毫伏突跃；此外，也排除了引入误差的可能性。作了对比实验：按照文献[5]的条件，滴定 4 毫克铀，加 15 毫克 $VOSO_4 \cdot xH_2O$ ，测定值偏高 3.7%；并且偏高值与 $VOSO_4$ 加入量成正比，这表明偏差是由加入的试剂引起的，可能是试剂价态不纯的关系。因此，在准确测定铀的试验中不能引入 $VOSO_4$ 。

本文拟定的程序比 Reeder 等^[6]的程序更简便（不需要加 $VOSO_4$ ）、灵敏。滴定 4 毫克标准铀，准确度及精密度均 <0.1%，滴定 1—4 毫克热铀溶液则 ≤ 0.2%。此外，采用了特制移液管^[6]对平行样品取样，取样的精密度可达 0.02—0.05%。这在热铀分析时，既减少了称量取样的次数，节省了时间，又利于防护。本方法已用于辐照后铀溶解液中铀、钚比值的测定。一根铀棒按选定的对称位置切割了九片，分片溶解后测铀浓度，结果满意，测定值的相对标准偏差均 ≤ 0.2%，同一溶液同时作钚的分析，九片样品的铀、钚比值符合规律性，沿轴向分布有对称关系^[7]，表明这两种分析方法有较好的准确度。

二、实验及结果

1. 主要试验及仪器 $K_2Cr_2O_7$ 基准试剂：一级，纯度 99.95—100.05%，120°C 干燥后用 1 M H_2SO_4 溶解，约 0.008 N。

标准铀溶液 I：光谱纯 U_3O_8 * 配成含铀约 4 毫克/克溶液，1 M HNO_3 介质。

标准铀溶液 II：保存在煤油中的金属铀屑（纯度 99.91%**）用丙酮洗、水洗，8 M HNO_3 浸泡至表面发亮。取出后立即用 H_2O 洗，丙酮洗，干燥后立即称重。配成 1 M HNO_3 介质，含铀约 4 毫克/克溶液。

硫酸钒酰： $VOSO_4 \cdot xH_2O$ ，三级，五价钒 <0.5%，上海试剂三厂。

数字式精密 pH 计：OP-208 型（匈牙利产品）。磁力加热搅拌器：681 型。

聚乙烯称量瓶：容积约 10 毫升，出口拉成毛细管，每滴约 8 毫克（装 $K_2Cr_2O_7$ 溶液）。

2. 推荐程序 用特制移液管（见图 1）取 1 M HNO_3 介质铀溶液约 1 克重（含铀量 1—4 毫克）放称量瓶中，准确称量。另取平行样品放入 50 毫升烧杯中，加 1.5 M 氨磺酸 0.4 毫升，浓 H_3PO_4 3.2 毫升，1 M 硫酸亚铁 0.4 毫升，室温放置 5 分钟。沿壁加入 0.8 毫升 4 M HNO_3 —0.1 M 氨磺酸混合液冲洗杯壁，再加 0.2 毫升浓 HNO_3 ，0.25 毫升 1% 铂酸铵。此时溶液呈暗棕色，室温下搅拌至溶液退色，再继续搅拌 5 分钟。再加 9 M H_2SO_4 2 毫升搅拌 2 分钟后加去离子水 10 毫升，并插入铂电极、甘汞电极、温度计。接通 pH 计将旋纽转至测毫伏处，在 25—30°C 用 $K_2Cr_2O_7$ 溶液（装在聚乙烯瓶中）称重滴定，至终点附近（约 3—4 分钟）后，逐滴加入并随时测定电位值，到电位出现突跃，电位上升约 35 毫伏。称量 $K_2Cr_2O_7$ 溶液，作图求等当点，计算样品含铀量。滴定可在 10 分钟内完成。为防止铂电极毒化，每测一批数据后，用 HF 和 HNO_3 浸泡铂电极。

3. 方法的准确度及精密度 通过两方面来确定：

(1) 两种标准铀溶液确定方法的准确度及精密度 分别取标准铀溶液 I 及 II 约 1 克重（含铀约 4 毫克），准确称重。用标准 $K_2Cr_2O_7$ 溶液（约 4 克重）按推荐程序滴定。以标准铀为基准，称重配制的铀浓度为计算值。滴定值与计算值的偏差均 <±0.1%（准确度）。滴定值的相对标准偏差 <±0.1%（精密度），结果列于表 1。

取标准铀溶液 II 0.25—1 克，其含铀量分别为 1、2、4 毫克，按推荐程序滴定。铀浓度的滴定值与计算值的偏差 ≤ 0.07%，说明准确度是好的。三者滴定值的相对标准偏差依次为 ±0.19%、±0.15%、±0.040%。取铀量越大，精密度越好，与一般电位滴定的规律相同，结果列于表 2。

(2) 用加入法检查测定实际样品的准确度 取标准铀溶液 II，按推荐程序滴定其含铀

* 原子能所光谱组自制光谱纯 U_3O_8 (44 号基体)。** 姚孙贤等，《金属铀的精密电位滴定》，原成 [76]-018(原子能所内部资料)。

表 1 方法的准确度及精密度

标准铀种类	铀浓度, 毫克铀/克溶液			偏 差 (滴定值-计算值/计算值), %
	计算值	滴 定 值	平均值(±精密度, %)	
I	4.72449	4.73194	4.72302(±0.055)	-0.096
		4.73025		
		4.72851		
		4.72947		
		4.72941		
	4.53475	4.53758	4.53497(±0.040)	+0.0048
		4.53473		
		4.53353		
		4.53405		
II	4.33977	4.34110	4.34146(±0.026)	+0.039
		4.34052		
		4.34109		
		4.34313		
	4.32565	4.32323	4.32276(±0.084)	-0.056
		4.31935		
		4.32436		
		4.31913		
		4.32774		

表 2 滴定标准铀溶液浓度的准确度及精密度

样品含铀量, 毫 克	铀浓度, 毫克铀/克溶液			偏 差 (滴定值-计算值/计算值), %
	计 算 值	滴 定 值	滴定值的平均值 (±精密度, %)	
4.53498	4.09340	4.09358	4.09358(±0.040)	+0.0045
2.27978	4.09340	4.10385	4.09700(±0.15)	-0.088
		4.10246		
		4.09394		
		4.09194		
		4.09683		
		4.08875		
1.16513	4.09340	4.09370	4.09410(±0.19)	-0.017
1.28764		4.08321		
1.36537		4.09222		
1.45653		4.09733		
1.44278		4.09137		
1.39333		4.10672		

量为A。取辐照后铀元件溶解液, 滴定其含铀量为B。将A量标准铀溶液II加入B量铀元件溶解液中, 滴定此混合液中总的含铀量。其滴定值为($A+B$)_{滴定}与预期的计算值($A+B$)_{计算}在0.2%以内符合。因此可认为滴定含铀量为1—4毫克的热铀溶液, 其准确度≤0.2%, 结果列于表3。

4. 搅拌时间与 $K_2Cr_2O_7$ 滴定时温度的影响 Fe(II)还原铀, 多余的Fe(II)以钼酸铵为

表 3 用加入法检查测定实际样品的准确度

序号	含铀量滴定值, 毫克		混合样品含铀量, 毫克		偏 差 $\left(\frac{(A+B) \text{计算} - (A+B) \text{滴定}}{(A+B) \text{计算}} \right), \% \right)$
	A(标准铀)	B(实际样品)	(A+B)计算	(A+B)滴定	
1	1.44058	3.78269		5.22173	
2	1.43926	3.80162		5.21973	
3	1.43988	3.79102		5.21998	
4	—	3.78946		5.22048	-0.2%
平均	1.43990	3.79120	5.23110	5.22048	

A——标准铀样品溶液中铀含量的滴定值;

B——辐照后铀元件溶解液中铀含量的滴定值;

(A+B)计算——A的平均值和B的平均值之和;

(A+B)滴定——A量标准铀加入B量铀的元件溶解液, 其总铀量的滴定值。

催化剂用 HNO_3 氧化, 产生的 NO 及 NO_2 被搅拌除去。室温 12—15°C 下搅拌 5 分钟即可, 结果见表 4。推荐安全和合理的条件为室温下搅拌至退色后, 再继续搅拌 5 分钟 (室温高退色时间就短)。

$K_2Cr_2O_7$ 氧化铀, 需保持较高温度, 15°C 以下无突跃点不能判断终点。温度升高反应速度加快, 铀(IV)在空气中氧化的速度也加快, 40°C 显示了稍偏低的结果 (-0.2%)。而 17—34°C 测定值的偏差都在方法的误差范围内, 故选择 25—30°C 是合适的, 见表 4。滴定终点附近电位值突跃足够明显, 见图 2。

表 4 搅拌时间与 $K_2Cr_2O_7$ 滴定 U(IV) 温度的影响

滴定温度, °C	搅拌时间 (12—15°C), 分	样品中含铀量, 毫克		偏 差, %
		计算值	滴 定 值	
25—30	15		4.55473	+0.09
	10	4.55067	4.55068	+0.0002
	5		4.55045	-0.004
40			4.54105	-0.2
34			4.54660	-0.09
17	10	4.55067	4.54974	-0.02
<15			没有突跃点	—

5. 加入 $VOSO_4$ 对滴定值的影响 样品中含 4 毫克铀, 比较了加与不加 $VOSO_4$ 对滴定值的影响。按文献 [5] 用量, 加入新配制的 $VOSO_4 \cdot x H_2O$ 15 毫克, 结果偏高 3.7%。将 $VOSO_4$ 量减少一半, 偏高值也降低一半 (1.9%), 这表明误差是由于加入 $VOSO_4$ 而引起。而我们多次实验已表明, 用 $K_2Cr_2O_7$ 直接滴定 U(IV), 准确度及精密度均 <0.1%, 结果列于表 5。

6. H_3PO_4 中加入 $K_2Cr_2O_7$ 对滴定值的影响 一些文献^[3]建议在 H_3PO_4 中加入少量 $K_2Cr_2O_7$ 排除其还原性杂质的影响, 以免引起偏高的结果。本文采用优级 H_3PO_4 , 样品中加入 H_3PO_4 量也不大, 实验结果表明, 加与不加滴定值在误差范围内相符, 见表 6。故只推荐在滴定少量铀时 (<2 毫克), 加 H_3PO_4 后预先加入几滴 $K_2Cr_2O_7$ 。

7. 辐照后铀元件中铀、钚比值的测定 核燃料循环中, 铀、钚比值是重要数据之一,

表 5 加入 $\text{VOSO}_4 \cdot x\text{H}_2\text{O}$ 对滴定值的影响

加入 $\text{VOSO}_4 \cdot x\text{H}_2\text{O}$ 量 毫 克	样 品 中 含 铀 量, 毫 克		偏 差, %
	计 算 值	滴 定 值	
0	4.04004	4.04361 4.04042 4.04327 平均 4.04243	+ 0.059
7.5	4.04004	4.11673 4.11937 平均 4.11790	+ 1.9
15	4.04004	4.19418 4.18485 4.19105 4.19103 平均 4.19028	+ 3.7

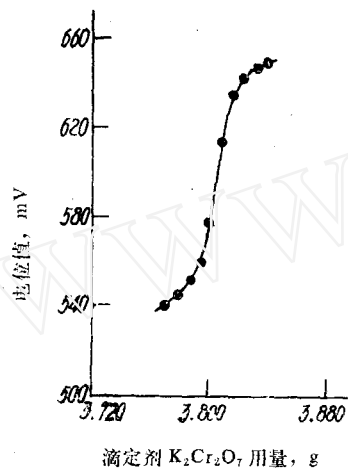


图 2 电位滴定曲线

要求铀及钚的分析有较好的准确度。一根辐照后铀元件，按选定的对称位置切割了九片^[6]，每片厚约 5 毫米，见图 3。分片用酸溶解，取样后直接用本文方法滴定热铀溶液，精密度均 $< 0.2\%$ ，见表 7。相应地取适量样品，用放化

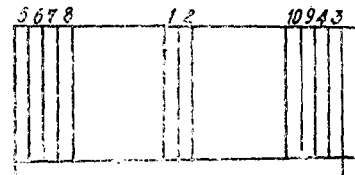


图 3 元件切割示意图

法分离测定钚^[7]，获得的铀、钚比值符合规律性。以第一片的铀、钚比值为 1.00 计算，各片的相对值沿轴向分布有对称性；同时铀棒两端值逐步升高，见表 8。这一结果表明，所采用的铀（及钚）分析方法是比较准确的。

表 6 H_3PO_4 中加入 $\text{K}_2\text{Cr}_2\text{O}_7$ 对滴定值的影响

样 品 中 含 铀 量, 毫 克	偏 差			
		滴 定 值 I(H_3PO_4 中加 $\text{K}_2\text{Cr}_2\text{O}_7$)	滴 定 值 II(纯 H_3PO_4)	$\text{II}/\text{I} \times 100\%$
4.33083	+ 0.04	4.33234		
2.75649	- 0.002	2.75644		
1.37631	+ 0.2	1.37929		

表 7 滴定热铀溶液的精密度

片号	5	7	8	1	2	10	4	3
精密度, %	0.03	0.21	0.087	0.080	0.082	0.14	0.068	0.055

表 8 铀、钚比值沿轴向分布的对称关系

片号	5	7	8	1	2	10	9	4	3
相对铀、钚比值	1.09	1.05	1.03	1.00	1.01	1.02	1.03	1.05	1.07

参 考 文 献

- [1] Daies, W. et al., *Talanta*, 11, 1964, p. 120
- [2] 陈静仪, $\text{FeSO}_4\text{-K}_2\text{Cr}_2\text{O}_7$ 微量容量法测定铀, 原子能研究所内部资料, 原成[76]-008.
- [3] Pietri, C. E. et al., Analytical methods for safeguard and accountability measurements of special nuclear materials, U. S. Department of Commerce/National Bureau of standards, 1978, p. 1.
- [4] Eberle, A. R. et al., NBL-252(1970).
- [5] Reerer, S. D. et al., Analytical methods for safeguard and accountability measurements of Special Nuclear materials, p. 247 U. S. Departments of Commerce/National Bureau of Standards(1978).
- [6] 张先梓等, 原子能科学技术, 3, 1984, p. 378
- [7] 魏启慧等, 核化学与放射化学, 3, 1984, p. 178
- [8] 张琴芬等, 原子能科学技术, 6, 1982, p. 672.

(编辑部收到日期: 1983年1月10日)

* * * * *

(上接第 660 页)

分别测量针孔用钢针堵或不堵时所得胶片的黑度分布(图7)。两次放电的剂量, 二极管的电流和电压曲线等基本相同。从针孔堵与不堵时得到的黑度分布曲线可以看到此法是可行的。

感谢龚堃和于红同志在胶片的微密度计扫描和数据处理上给予的帮助。

参 考 文 献

- [2] 粒子束惯性约束研究组, 原子能研究所年报(1980), 原子能出版社, 1981年, 第75页.
- [2] 龚堃, 平面像信息处理, 待发表
- [3] D. J. Johnson, *Rev. Sci. Instrum.*, 48, 209(1977).
- [4] E. Storm, *Phys. Rev.*, A 5, 2328(1972).

(编辑部收到日期: 1983年6月16日)